

دراسة طبيعة المكمن المائي في حوض لمنطقة الدراسة بين مدينة طوزخورماتو وقرية بيرأحمد باستخدام طريقة الجس الكهربائي العمودي (VES)

حسن شهاب زين العابدين¹ ، صبار عبدالله صالح¹ ، سلمان زين العابدين خورشيد²

¹ قسم علوم الارض التطبيقية ، كلية العلوم ، جامعة تكريت ، تكريت ، العراق

² قسم علوم الارض ، كلية العلوم ، جامعة بغداد ، بغداد ، العراق

الملخص

تشغل منطقة الدراسة مساحة (311m^2) ضمن الحدود الإدارية لمحافظة صلاح الدين ما بين مدينة طوزخورماتو شرقاً ومدينة تكريت غرباً، وتحضر بين احداثيات (448000 - 468000) شرقاً و(3870000 - 4500038) شمالاً . تضمنت هذه الدراسة تطبيق طريقة الجس الكهربائي العمودي بترتيب شلبرجر المتاظر في (25) نقطة موزعة على اربع مسارات كهربائية. كما ورسمت منحنيات المقاومة النوعية الظاهرية من البيانات الحقلية وتم تفسيرها نوعياً من خلال دراسة طبيعة المنحنيات الكهربائية وصنفت الى (12) نوعاً ، بعد ذلك فسرت المنحنيات الحقلية تفسيراً كميّاً بطريقة النقطة المساعدة وبأسلوب إبريت (Ebret method) لإيجاد قيم المقاومة النوعية والسمك لأنطقة الكهربائية، بعدها فسرت منحنيات الجس تفسيراً آلياً ببرنامج الحاسوب (IPI2win) بأسلوب التفسير المعكوس.

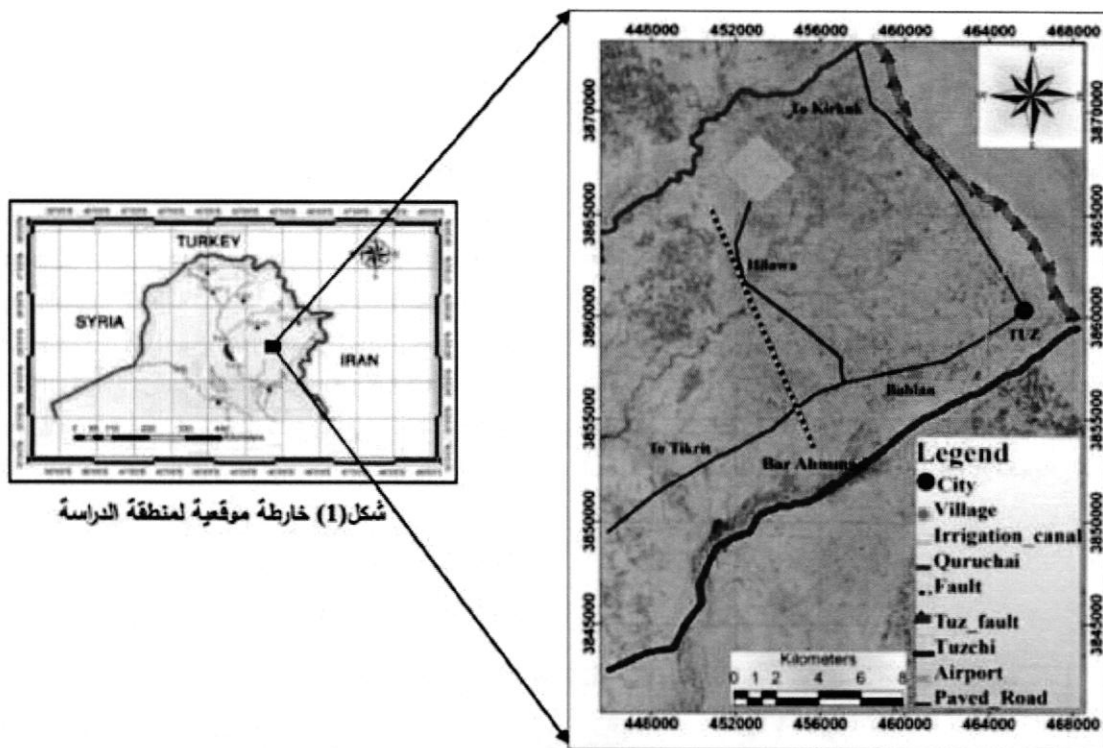
تم ايجاد قيم الناقلة للخزان من نتائج الضغط الاختباري في (4) ابار ضمن منطقة الدراسة والقريبة من نقاط الجس الكهربائي العمودي ومن ثم ايجاد قيم التوصيلة الهيدروليكيّة (K) للخزان ، كما وحدد اتجاه حركة المياه الجوفية في منطقة الدراسة والتي تكون من جهة الشمال الشرقي الى الجنوب الغربي . وضفت عدة علاقات تجريبية بين المعاملات الجيوكهربائية والمعاملات الهيدروليكيّة، وهذه العلاقات استخدمت لإيجاد قيم الناقلة (T) مباشرة من تعويض قيم المقاومة المستعرضة (pt) للخزان وايضاً استخدام هذه المعادلات لإيجاد قيم التوصيلة الهيدروليكيّة من المقاومة النوعية للخزان في منطقة الدراسة او اي منطقة اخرى بشرط ان تكون لها ظروف جيولوجية وهيدروجيولوجية مشابهة لمنطقة الدراسة .

المقدمة

وعمقها ، وامتداداتها [2] ، وتعين مستوى المياه الجوفية ونوعية المياه [3] .

تقع منطقة الدراسة ضمن الحدود الإدارية لمحافظة صلاح الدين بين مدينة طوزخورماتو شرقاً ومدينة تكريت غرباً ، حيث تبعد عن مدينة طوز حوالي (15) كم غرباً وتبعد عن مدينة تكريت حوالي (110) كم شرقاً حيث تم تحديدها بالاعتماد على مسقط ماركينر المعدل - (UTM) ضمن نطاق (38) وتحضر بين احداثيات (448000 - 468000) شرقاً و(3870000 - 3845000) شمالاً شكل (1) . تحدد هيدروجيولوجياً من الشمال نهر قوري جاري ومن الشرق فالق طوز ، كما يحدوها من الجنوب نهر أق صو ومن جهة الغرب نهر زغيتون .

يعد الماء شريان الحياة الذي يدخل في معظم مستلزمات الحياة اليومية للإنسان ، وفي ظل تطور الشعوب وازدياد حاجة السكان الى الماء أصبح من الضروري البحث عن وسائل متطرفة ورخيصة الكلفة لاستخدامها في التحري عن المياه الجوفية التي تعد واحدة من مصادر المياه المهمة خصوصاً في المناطق التي توافر فيها المياه السطحية او البحيرات او العيون او الينابيع . وقد لعبت الطرائق الجيوفيزيائية دوراً مهماً في هذا المجال حيث استخدمت منذ الثلاثينيات للتحري عن المياه الجوفية ، ومن بين هذه الطرائق طريقة المقاومة النوعية الكهربائية التي تعد من أهم الطرائق الجيوفيزيائية في هذا المجال [1] ، حيث استخدمت بشكل واسع في التحريات الهيدروجيولوجية العامة منها وصف الطبقات الحاملة للمياه الجوفية مثل: تحديد سمكها،



شكل(1) خارطة موقعة لمنطقة الدراسة

شكل(1) خارطة موقعة لمنطقة الدراسة

أقل تشجيعاً كطبقات حاوية على الماء ، ويليه تكوين المقدادية فهى من اهم الخزانات الجوفية في المنطقة . تستغل الابار الأهلية والآبار الحكومية التي هي قيد الانجاز التي تتركز معظمها في المناطق السهلية للأغراض الزراعية والشرب علاوة على استغلال بعض منها للأغراض الصناعية لغسل الحصى والرمل [8] ، شكل (2) .

تكتونياً : تقع منطقة الدراسة ضمن التقسيم الفيزيوغرافي المسمى بنطاق الطيات الواطئة (Foothill zone) حزام (حرمرين - مكحول) العائد للرصيف غير المستقر (Unstable Shelf) حسب تصنيف [9] ، والمتأثرة بالحركات الأرضية ، وتتضمن وجود طية حرمين وطية بكانة المحدين الواقعتين ضمن هذا نطاق . من خلال المشاهدات الحقليّة التي تشير الى وجود فالق تحت سطحي في منطقة الدراسة وتحديداً في قرية حلوبة ويعتقد بأن لها تأثيراً على خواص الخزانات في المنطقة كما إنه كان سبباً في صعود المياه الجوفية وحدوث ظاهرة الرشح السطحي (الترizer) إلا أنه لم تجرى دراسات لتحديد وجود هذا الفالق .

جمع المعلومات الحقليّة

تم القيام بجولة استطلاعية للمنطقة قبل بداية العمل الحقلي وذلك بتاريخ 11/11/2012 ، كان الغرض منها تحديد ومعرفة الحدود الطبيعية للمنطقة وبيان طوبوغرافية وجيومورفولوجية المنطقة ومتابقة الخارطة الجيولوجية مع الواقع اما بقية خطوط العمل الحقلي فقد أنجز في الدراسة الحالية على جانبي :

1- الجانب الهيدروجيولوجي

بدأ العمل الحقلي بتاريخ 11/11/2012 واستمر لمدة شهر ، حيث تم مسح (160) بئر او نقطة مائبة ضمن منطقة الدراسة مع جمع (32)

لقد حظيت منطقة الدراسة بالعديد من الدراسات الإقليمية التي ضمتها ولكنها كانت عامة كما ان هناك دراسة تضمنت أجزاء من منطقة الدراسة ، دراسة [4] لتقدير الظروف الهيدروجيولوجية لمكامن المياه باستخدام الطريقة الكهربائية ، ودراسة قامت بها [5] [6] ، [7] اشار كل من في دراستهم الى تقييم الظروف الهيدروجيولوجية ونوعية المياه الجوفية للحوض ، وحددوا حركة المياه الجوفية ومناطق التغذية والتصريف ، ودرسو هيدركيميائية المياه الجوفية للمناطق الملوثة ومصادر التلوث ، وحددوا اتجاه حركة المياه الجوفية من المناطق الشمالية الشرقية باتجاه المناطق الجنوبية الغربية.

يستهدف البحث الحالي الى :

- 1- تحديد الطبقات الحاملة للمياه الجوفية في منطقة الدراسة وذلك بالاعتماد على نتائج الجس الكهربائي العمودي وباستخدام طريقة المقاومة النوعية الكهربائية - ترتيب شلمبرجر المتوازن.
- 2- تحديد سمك وامتداد الخزانات الحاملة للمياه الجوفية.
- 3- رسم المقطع الجيوكهربائي وتحديد التركيب تحت سطحي للمسارات الكهربائية في المنطقة .
- 4- دراسة العلاقات بين قياسات المقاومة النوعية الكهربائية والخواص الهيدروليكيّة .

جيولوجية وهيدرولوجية منطقة الدراسة

إن أهم التكاوين الجيولوجية المنكشفة في المنطقة هي تكوين الفتحة ذو تأثير فعال في نوعية المياه الجوفية نظراً لاحتوائه على صخور ملحية، ولذلك يعد هذا التكوين مصدراً للأملاح المذابة وبكميات كبيرة للمياه السطحية والجوفية . أما تكوين انجانة فيمتاز بطبقات صماء حيث تعد

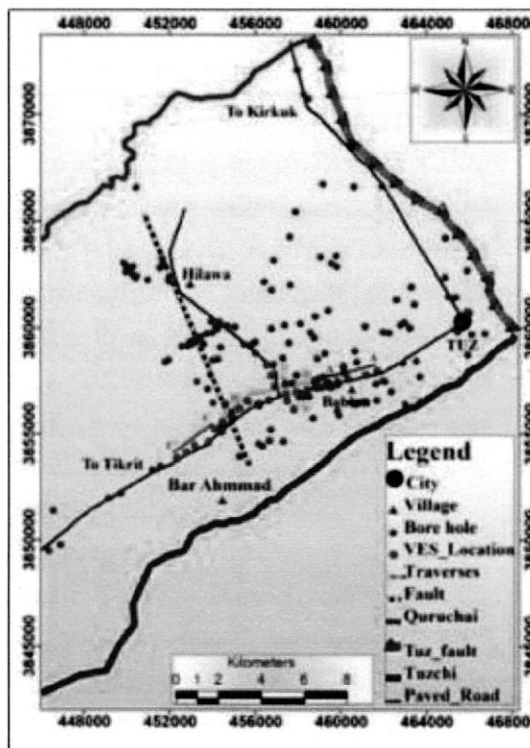
عمودي (VES) بتطبيق طريقة المقاومة النوعية الكهربائية - ترتيب سلميرجر، كما تم تحديد إحداثيات وارتفاعات نقاط الجس بوساطة جهاز تحديد الموقع الأرضية (GPS). وزعت نقاط الجس الكهربائي العمودي والبالغ عددها (25) موزعة على (4) مسارات جيوكهربائية وهي (AA') ، (BB') ، (CC') ، (DD') ، وبمسافة (500m) بين نقطة وأخرى ، تقع معظم نقاط الجس الكهربائي بالقرب من الآبار المحفورة حديثاً في المنطقة منها آبار اهلية وآخرى آبار حكومية. وبلغ عدد القياسات للمقاومة النوعية الظاهرية في كل نقطة (36) قياسات وبلغ الحد الأعلى للمسافة (AB) بين قطبي التيار (500 m) والممسافة (MN) بين قطبي الجهد (40m) ، ويوضح الشكل (3) خارطة لمنطقة الدراسة مبيناً عليها المسارات ونقط المنسوب الكهربائي العمودي ومواقع الآبار.

نموذج مائي من الآبار العميقة والضحلة حيث تم أخذ قنبلة من الماء من كل بئر.

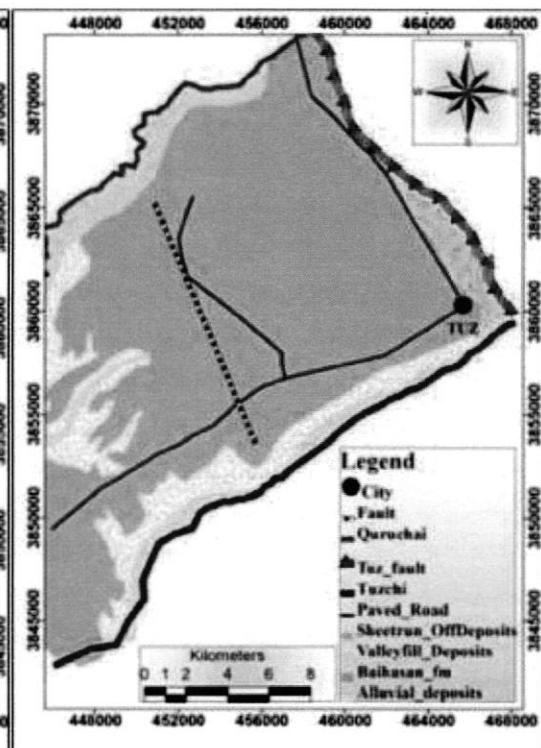
كما تم تحديد موقع النمذجة المائية بواسطة جهاز (GPS) والمتمثلة بالآبار الأنبوية العميقة والمتوسطة العمق والآبار الضحلة ثم قياس المستويات الاستقرارية والبيزومترية في الآبار بواسطة جهاز (Sounder) وا سقاط موقع الآبار المختارة وعدها (60) بثأراً على الخارطة الموقبة للمنطقة شكل (3) ، مع إجراء الفحوصات على النماذج المائية المأخوذة من الآبار لغرض معرفة مجموعة الاملاح الذائبة (TDS) في كل نموذج والابصالية الكهربائية (EC) ، وإجراء عملية الضخ الاختباري لاربعة آبار ضخ ومراقبة انخفاض المنسوب مع الزمن في اربعة آبار الأخرى .

2- الجانب الجيوفيزيائي

أنجز هذا الجانب خلال مدة فصل الربيع وللفترة من (15/12/2012) (7/12) وخصوصاً بعد فترات سقوط الأمطار وتم اجراء مسح كهربائي



شكل (3) خارطة تبين نقاط الجس الكهربائي ومواقع الآبار



شكل (2) خارطة جيولوجية لمنطقة الدراسة

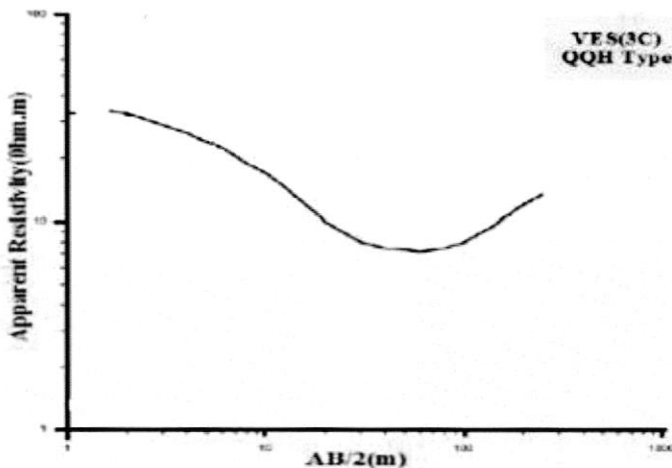
مكامن المياه الجوفية الموجودة وخواص الصخور وتغيرها عمودياً وافقياً لمعرفة الوضع تحت السطحي بصورة دقيقة [10] ، [3] ، [11] . يتم في التفسير النوعي ، تصنيف المنحنيات الحقيلية إلى مجاميع اعتماداً على أشكالها. يوفر هذا الأسلوب تقريباً أولياً لقيم المقاومة النوعية وعدد الأنطقة الكهربائية والسطح الفاصلة ، إذ يمكن تقدير هذه المعلومات لأي منطقة بمجرد النظر لأشكال المنحنيات الحقيلية ومن ثم تصنيفها إلى مجاميع مختلفة، وبالاعتماد على هذه المجاميع

تفسير نتائج الجس الكهربائي العمودي ان الهدف من استخدام الطرائق المختلفة في عملية تفسير منحنيات المسح الكهربائي العمودي بطريقة المقاومة النوعية الكهربائية هو تحديد قيم مقاومة وسمك الأنطقة الكهربائية المختلفة تحت السطح ، وربط نتائج التفسير ومقارنتها مع المعلومات الجيولوجية والهيdroجيولوجية المتوافرة عن منطقة الدراسة لغرض دراسة صفات

(QHK, HAA, KHA HQ, HKHK, QH, QHKA, HK وبالاستفادة من الخارطة الجيولوجية لمنطقة الدراسة، والتابع الطبقى للأبار المحفورة في المنطقة تم تفسير طبيعة التغير في المقاومة النوعية للترسبات خصوصاً في نقاط الجس الكهربائية القريبة من هذه الآبار .

يمكنا الخروج بصورة واضحة عن التراكمي الجيولوجية والمميزات الهيدروجيولوجية للمنطقة [12] .

تم دراسة (25) نقطة جس كهربائي الموزعة على اربع مسارات كهربائية، شكل (4)، ومن ثم صنف المنحنيات الكهربائية اعتماداً على أشكالها إلى (2) نوعاً (QHA, HKH, KQH, QQQ,)



شكل (4) يوضح نوع المنحني QQH لنقطة الجس (3C) ونمونجا لبقية نقاط الجس

1- اختلاف كبير في قيم المقاومة النوعية الظاهرية للترسبات بشكل عام وكذلك عدم تجانس خطوط تساوي المقاومة النوعية الظاهرية تحت النقاط الكهربائية التي تعكس بصورة عامة تأثير عدسمات من الرواسب حيث نلاحظ ارتفاع في قيم المقاومة النوعية الظاهرية تحت النقطة (2A) بسبب وجفاف الطبقة السطحية ، كما وتختفي قيم المقاومة النوعية الظاهرية اسفل النقطة (3A) ثم يستمر الانخفاض بصورة ملحوظة باتجاه النقطتين (4A,5A) وصولاً الى اقل القيم . ويمكن ايضاً ملاحظة اسفل النقطة الكهربائية الرابعة (4A) والخامسة (5A) وجود عدسة من الترسبات وانخفاض المقاومة النوعية الظاهرية نتيجة وجود كمية من الغرين والرمل وقليل من الحصى ، وتبدأ المقاومة النوعية الظاهرية بالارتفاع مع زيادة العمق ونلاحظ وجود إنغلاقات في الخطوط الكثوريّة ، وكما يمكن أن نلاحظ عند أعمق جانبياً تحت جميع النقاط مما يشير الى امتداد وتجانس الترسبات تحتها .

• المقطع (B'-B) رسم هذا المقطع على امتداد المقطع السابق وبنفس الاتجاه كما هو مذكور أعلاه ويمر بالنقاط التالية (1B, 2B, 3B, 4B, 5B, 6B, 7B, 8B, 9B, 10B) المقطع شكل (6) يمكن الخروج باللاحظات الآتية :-
1- أظهرت جميع النقاط ارتفاع في قيم خطوط تساوي المقاومة الظاهرية قرب السطح بسبب التربة السطحية الجافة وتبين خواص الترسبات واختلاف درجات الرطوبة فيها ماعدا النقطتين (1B, 9B) اللتان تتميزان بقيم منخفضة جداً بسبب وجود ترسبات الحصى او ملوحة المياه الجوفية السطحية او كونها مناطق زراعية فضلاً عن

تبين من الفحص النوعي للمنحنيات الكهربائية اختلافات عدة في قيم المقاومة النوعية في المنطقة اذ اعطت بعض النقاط قيمة عالية للمقاومة النوعية للنطاق الاول ، ويعزى ذلك إلى مكوناتها المتباينة من المواد المختلفة الجافة فضلاً عن تأثيرها بعملية سقي المزروعات التي ادت إلى زيادة رطوبة التربة ونقصان مقاومتها النوعية في النطاق الثاني، بالنسبة إلى النطاقين الثالث والرابع فتفيزت بقيمة متوسطة إلى واطنة للمقاومة النوعية الذي يمثل الخزان الجوفي ومكونة من ترسبات الحصى الخشن والرمل الناعم العائد إلى ترسبات تكوين المقدادية، كما يلاحظ أيضاً قلة المقاومة النوعية للترسبات في بعض الموقع وزينتها في موقع آخر ويرجع سبب ذلك إلى اختلاف في نسب ترسبات الحصى والرمل والطين فيها، واختلاف مجموع الأملاح المذابة (TDS) في المياه الجوفية كما يستدل على ذلك من معلومات الآبار المتوافرة في المنطقة .

مقاطع المقاومة النوعية الكهربائية

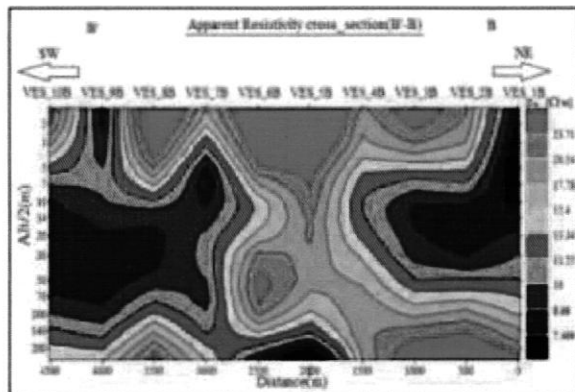
رسمت اربعة مقاطع كافية في هذه الدراسة للمسارات الكهربائية وجميعها موضحة في الشكل (3)، (AA')، (BB')، (CC')، (DD') ، باستخدام برنامج الحاسوب (IPI2WIN) اذ تراوحت المسافة الفاصلة بين الأقطاب (AB/2) بين (250m - 1.5m) وتم ربطها مع جيولوجية المنطقة وكذلك من المعلومات المستحصلة من الآبار القريبة من نقاط الجس .

• المقطع (A'-A) تم رسم هذا المقطع الذي يمر بنقطة الجس الكهربائية الآتية (1A, 2A, 3A, 4A, 5A) والذي يمتد بموازاة الشارع الذي يربط بين مدينة طوزخورماتو وقرية (بير أحمد) كما هو موضح في الشكل (5) . ويمكن ملاحظة ما يلي :-

بسبب الاختلاف في سماكة الطبقة المشبعة بسبب إزاحات الفوالق تحت السطحية . كما تم ملاحظة وجود العدسات وإنغلاقات في قيم خطوط تساوي مقاومة الظاهرية مشيراً بذلك إلى وجود بعض التغيرات التي قد تدل على وجود تغير في الصخارة أو الملوحة أو وجود تراكيب تحت سطحية (فوالق) او وجود ترببات الحصى والرمل وقليلًا من الطين والغرين فضلاً عن تشعبها بالمياه الجوفية معزى ذلك إلى انخفاض قيم مقاومة فيها وبخلاف ذلك وجود عدسات تمتلك قيم مقاومة عالية .

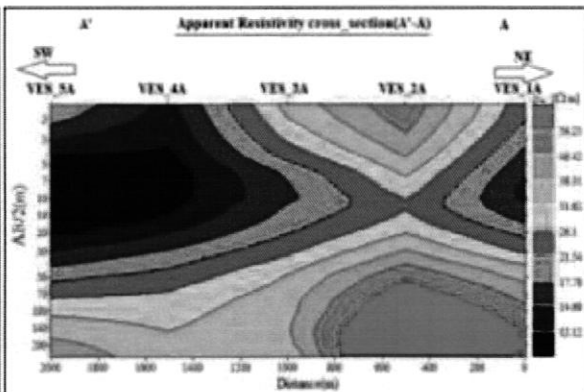
تأثير المواد الكيميائية المضافة إليها أما بالنسبة إلى النقطة (9B) فإن انخفاض مقاومتها فيها يكون بسبب فالق تحت سطحي في تلك النقطة . ثم تنخفض قيم مقاومة تدريجياً مع العمق خصوصاً عند الاعماق (AB/2=6-140) في جميع النقاط ماعدا نقطتين (B, 6B) (5B) تستمر مقاومة في ارتفاع مع زيادة العمق تم تنخفض مع وصول العمق إلى (AB/2=160) مما فوق .

2- ظهور تموجات في خطوط تساوي مقاومة الظاهرية في معظم النقاط عند مسافات النشر، وسبب هذا التموج في القيم قد يكون



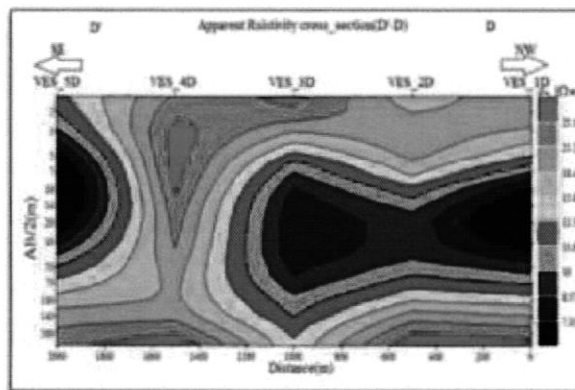
شكل (6) مقطع مقاومة النوعية الظاهرية عبر المسار (B'-B)

الطبقة المشبعة بالمياه الجوفية كما يدل أيضاً على وجود تجانس في قيم مقاومة النوعية ضمن المسار الواحد قد يكون سببه سيطرة مقاومة الماء في الخزان ، كما نلاحظ تشابه هذا المقاطعين مع المقاطعين السابقين (A'-A) (B'-B) من حيث وجود العدسات والتتموجات والانغلاقات في خطوط تساوي مقاومة الظاهرية والتي تدل على عدم التجانس في قيم مقاومة الظاهرية او بسبب الاختلاف في سماكة الطبقة المشبعة وكذلك بسبب إزاحات الفوالق تحت السطحية .



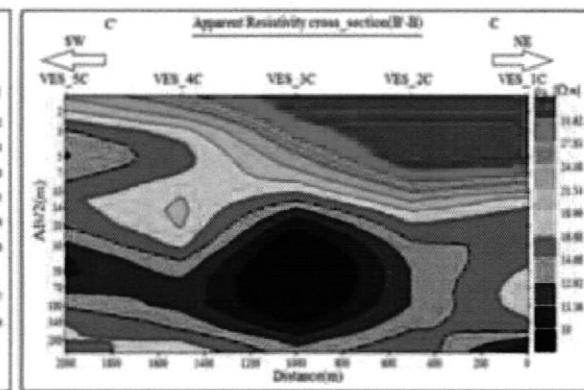
شكل (5) مقطع مقاومة النوعية الظاهرية عبر المسار (A'-A)

إما المساران (CC') و (DD') اللذان يمران بالنقط الكهربائية (1C, 2C, 3C, 4C, 5C) (1D, 2D, 3D, 4D, 5D) على التوالي فقد لوحظ من الشكلين (7) و (8) وجود تباين كبير في مقاومة النوعية الظاهرية ووجود الانغلاقات الكثورية وعدم استمرار الخطوط جانبياً على طول المسارين مما يشير إلى وجود تغيرات جانبية ماعدا المسار (C'-C) الذي يستمر فيه الخطوط عند مسافة النشر (1.5 m) وتمتد جانبياً على طول المقطع، إذ يدل ذلك على الوصول إلى (20m)



شكل (8) مقطع مقاومة النوعية الظاهرية عبر المسار (D'-D)

الطبقات المختلفة واستخدام هذه النتائج من خلال ربطها مع المعلومات المتوفرة من الآبار والدراسات الجيولوجية الأخرى [13] ، [14] وذلك للحصول على الصورة الجيولوجية الكاملة لمنطقة البحث . تم رسم منحنيات مقاومة النوعية الكهربائية يدوياً باستخدام طريقة التطابق



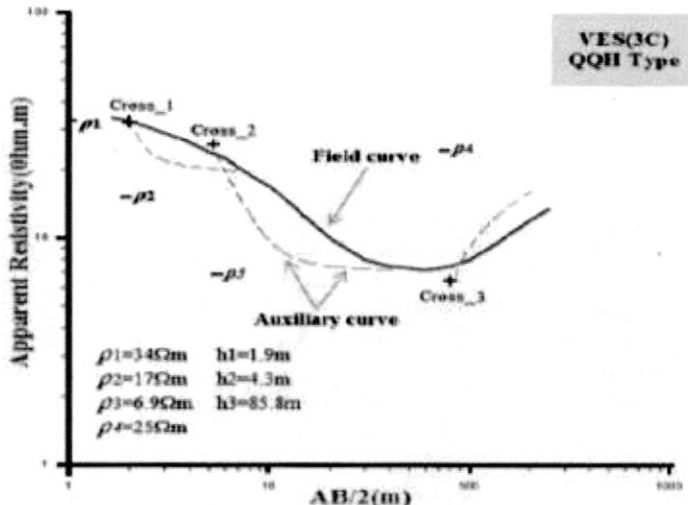
شكل (7) مقطع مقاومة النوعية الظاهرية عبر المسار (C'-C)

التفسير الكمي

بعد اجراء عملية التصحيف والتعييم (Smoothing) يصبح المنحنى الحقلي جاهزاً للتفسير الكمي ، اذ ان الهدف من التفسير الكمي للقيم المستحصلة من المسح الكهربائي العمودي هو تحديد سماكة مقاومة

بوصفه تفسيراً أولياً عند استخدام برامج الحاسوب . يظهر الشكل(9) مثلاً لنتائج تفسير المنحنيات الكهربائية لمنطقة الدراسة وباستخدام هذه الطريقة .

الجزئي للمنحي (Partial Curve matching) اسلوب ايررت ، وفرت هذه الطريقة تفسيراً مبدئياً للمنحنيات الكهربائية بالحصول على مقاومة النوعية وسمك الطبقات وتم اعتمادها والاستناده من نتائجها



شكل (9) يوضح التفسير بطريقة ايررت لنقطة الجس (3C)

ترسبات الحصى والرمل ومواد طينية رابطة العائدة الى ترسبات تكون المقدادية، والتي تم تحديدها بالاعتماد على مقطع الطباقي لبئر المراقبة رقم (Well1) .

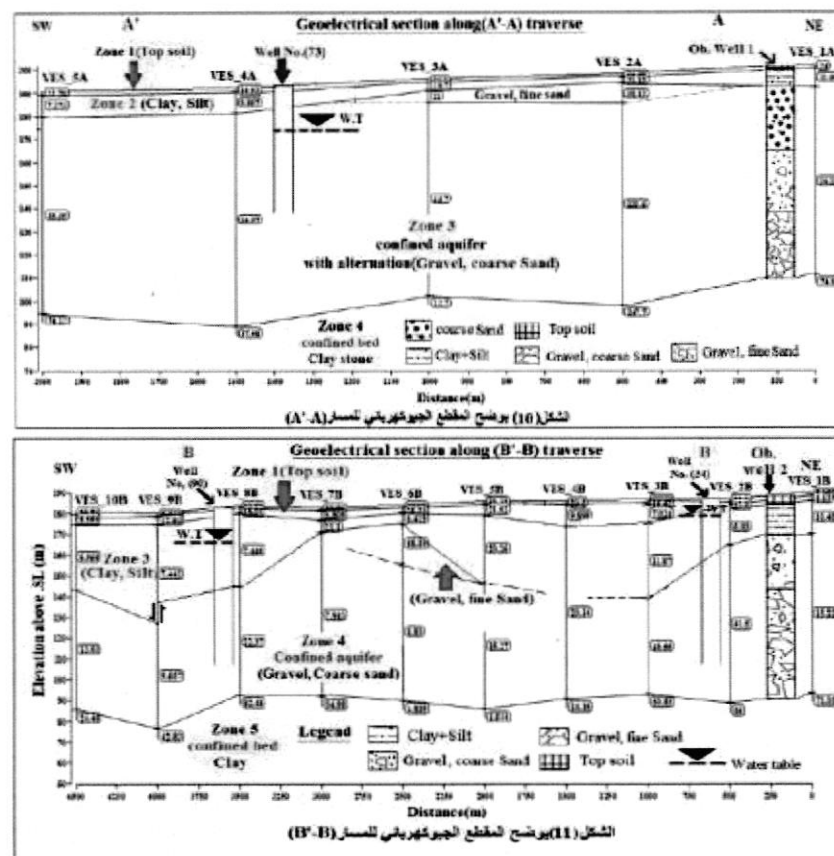
• المقطع الجيوكهربائي للمسار (B'-B) :- يمر هذا المسار بعشرة نقاط جس كهربائي كما موضح بالشكل (11) .

ينقسم النطاق الاول إلى نطاقين ثانويين، النطاق الأول يمثل نطاق التربة الغرينية السطحية الجافة ذات المقاومة العالية ، أما النطاق الثاني فيمثل نطاق التربة السطحية ذات المقاومة المنخفضة، ان سبب الاختلاف في قيم المقاومة بالنسبة الى النطاقين الثانويين ضمن نطاق الاول يعود الى اختلاف درجات الرطوبة والجفاف في النطاقين، وتباين خصائص التربة. اما النطاق الثاني فيتألف من ترسبات طينية وغرينية و العائدة للعصر الرباعي (Quaternary) والتي تكون بحد ذاتها طبقة حاصرة (Confined bed) تحد الخزان الجوفي من الأعلى الا ان وجود الغرين يجعلها شبه نفاذة وبالتالي فان ظروف الخزان الجوفي يكون محصور الى شبه محصور، اما بالنسبة الى النطاق الثالث يتتألف من طبقات متعاقبة من الحصى والرمل الناعم والخشن التي تمثل ترسبات تكون المقدادية والتي تمثل في نفس الوقت الخزان الجوفي في منطقة الدراسة، إن تواجد المياه الجوفية أدى إلى خفض قيم المقاومة النوعية فيه،نظراً للدور الذي تلعبه الأملاح (كبريتات الكالسيوم (CaSO_4)) في التوصيل الكهربائي. كما نلاحظ أن هناك ارتفاعاً في قيم المقاومة النوعية عند نقاط الجس (2A, 3A) ، وذلك لتواجد المياه الجوفية العذبة استناداً الى دراسة [4] .

المقاطع الجيوكهربائية في منطقة الدراسة

تتألف المقاطع الجيوكهربائية من تتبع لأنطقة أفقية (Zones) وكل نطاق له سماكة ومقاومة نوعية تحت كل نقطة جس كهربائي ، ويعتبر الجس الكهربائي العمودي أفضل طريقة لرسم هذه المقاطع والمتمثلة باتجاهين ، حيث يكون الاتجاه العمودي ممثلاً لسمك الأنبطة أما الاتجاه الأفقي فيمثل المسافة بين نقاط القياس. وتكون هذه المقاطع مفيدة في تحديد التغيرات الأفقية والعمودية في قيم المقاومة النوعية فضلاً عن إن أهمية دراسة هذه المقاطع في التطبيقات الهيدروجيولوجية تبرز في تتبع الطبقات الحاملة للمياه الجوفية ومعرفة امتدادها وتمييزها عن الطبقات الأخرى [15] ، تم رسم أربعة مقاطع جيوكهربائية عبر المسارات وبالاعتماد على نتائج التفسير اليدوي وهي كالآتي :-

- المقطع الجيوكهربائي (A-A') :- رسم المقطع الجيوكهربائي الاول عبر المسار (A'-A) الذي يمر بالنقطات الكهربائية الآتية وهي (1A, 2A, 3A, 4A, 5A) على التوالي حيث يكون نقطة جس (1A) القريبة من البئر (1 Ob.Well) ، الشكل(10)، يمثل النطاق الاول التربة السطحية الذي يتميز بمقاومة نوعية عالية نسبياً وسمك متغيران على طول المسار وتعتمد فيه المقاومة النوعية على مقدار رطوبة التربة ونوع مكوناتها وتباين خواصها، اما النطاق الثاني فيتألف من ترسبات غرينية وطينية رطبة العائدة الى ترسبات العصر الرباعي ، اما النطاق الثالث فيمثل الخزان الجوفي في المنطقة وهو من النوع الشبه المحصور ، وذلك بسبب وجود طبقة طينية غرينية يحدوها من الأعلى ومتمنة بالنطاق الثاني ، يتتألف هذا النطاق بصورة عامة من

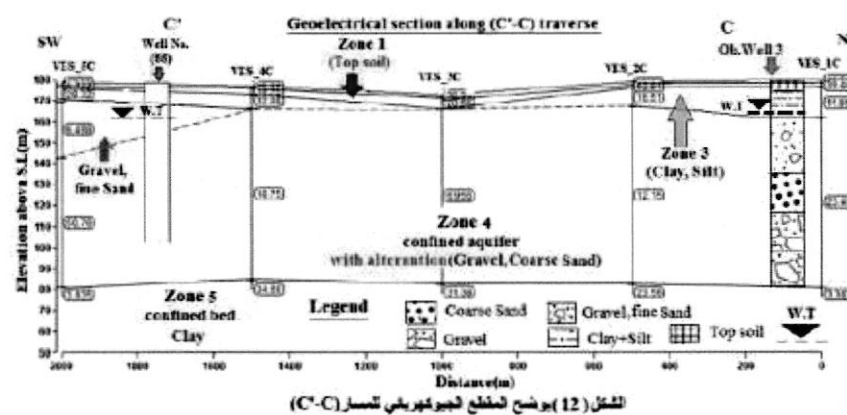


النطاق الثالث الخزان الجوفي في ظروف الخزان المحصور الى شبه محصور بسبب تواجد الغرين مع الطين في الطبقة التي تحد الخزان الجوفي من الاعلى يتتألف هذا النطاق من تربات الحصى والرمل الخش العائدة الى تربات تكون المقدادية ، إذ تتراوح قيم المقاومة فيه من قيم عالية الى منخفضة (Ωm) (50.76 - 5.96) ويعزى هذا التغير في القيم إلى تغير ملوحة المياه الجوفية حيث تنخفض قيم المقاومة النوعية بسبب زيادة الأملاح الناتجة من تفاعل المياه الجوفية بالترسبات المحيطة بها فضلاً عن تواجد المياه الجوفية العذبة الذي يكون سبباً في ارتفاعهانسياً .

المقطع الجيوكهريائي للمسار (C'-C')

يمر هذا المسار بخمسة نقاط جس كهريائي كما موضح بالشكل (12)، وعند دراسة المقطع نلاحظ ما يلي :-

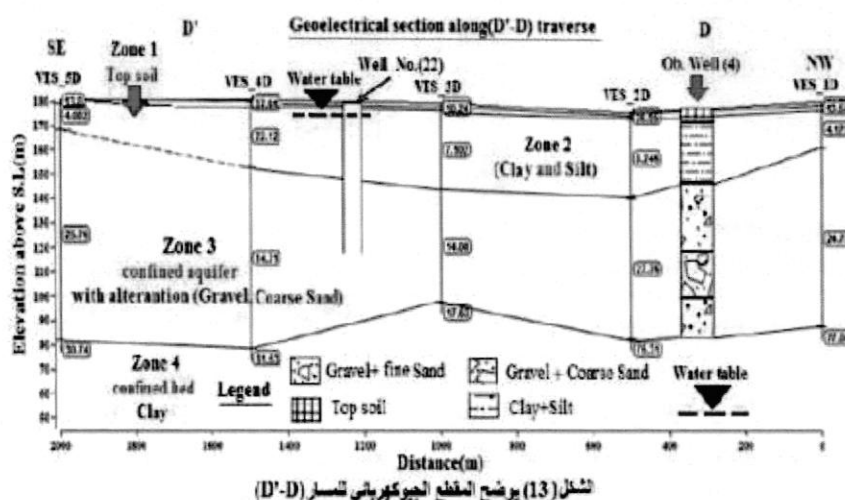
ينقسم النطاق الاول كهريائياً إلى نطاقين ثانوين، الاول تمثل التربة السطحية ذات المقاومة النوعية العالمية، بينما مثل النطاق الثاني الثاني نطاق التربة السطحية ذات المقاومة النوعية متوسطة الى واطنة، إن سبب ارتفاع وانخفاض قيم المقاومة النوعية في نطاق التربة السطحية بشكل عام ناتج عن اختلاف درجات الرطوبة والجفاف ، أما النطاق الثاني يتكون من رواسب طينية وغرينية العائدة الى تربات العصر الرياعي وقيم المقاومة النوعية المنخفضة . في حين مثل



ترواحت ما بين (27.76 – 14.08 Ω.m). إن هذا الارتفاع في قيم المقاومة النوعية يدل على قلة ملوحة المياه الجوفية في هذا النطاق ، حيث يتالف هذا النطاق من تربات الحصى والرمل الخشن تمثل تربات تكون المقدادية ، كما تم تحديد مستوى المياه الجوفية في هذا النطاق بالاستعانة ببعض الآبار القريبة من نقاط الجس ومقاسة فيه عمق المياه الجوفية حقولاً علماً بأن عمق المياه المقاس من البئر لا يتطابق مع ما استخرج بالطريقة الكهربائية لأن المياه في معظم الآبار محصور لذا عند حفر الآبار يرفع مستوى المياه من الخزان إلى الأعلى بسبب انحسار الماء في الخزان الجوفي ، حيث قيست عمق في قسم من الآبار أثناء الحفر ووجد بعمق (39m) وبعد الحفر ترفع الماء إلى حد (18m).

المقطع الجيوكهربائي للمسار (D'-D)

يمر هذا المسار بخمسة نقاط جس كهربائي الشكل (13) وعند دراسة المقطع يمكن ملاحظة ما يلي :-
يقسم النطاق الأول إلى نطاقين ثانوبين ، الأول يمثل التربة الغرينية السطحية ذات المقاومة العالية، أما النطاق الثاني الذي يمثل التربة الغرينية فقد مثل فيها نطاق التربة السطحية ذات المقاومة المنخفضة ان سبب هذا الفرق هو تباين خصائص التربة ، هذا في حين يمثل النطاق الثاني في جميع نقاط الجس الكهربائي بطبيعة من الطين والغرين العائد لترسبات العصر الرباعي ذات المقاومة متوسطة إلى الواطنة، أما النطاق الثالث يمثل هذا النطاق الخزان الجوفي في المنطقة بظروف الخزان شبه المحصور وذلك لوجود طبقة طينية وغرينية التي تحد الخزان من الأعلى حيث ترتفع فيه قيم المقاومة النوعية ، إذ



شكل (13) يوضح المقطع الجيوكهربائي للمسار (D'-D)

الـ (EC) تزداد كلما اقتربنا من هذه منطقة وتديداً في قرية حلية التي لاحظنا فيها ظاهرة الرشح السطحي والتي سجلت أعلى قيم لكل من الملوحة والتوصيلية الكهربائية نستنتج من ذلك بلـ الفالق يساهم بشكل كبير في زيادة ملوحة المياه الجوفية نتيجة اختلاط مياه الخزان الرئيسي والمتمثلة بتكون المقدادية مع مياه التكوينات الواقعة أسف منه والذي يكون على الأرجح من تكون الفتحة أو من خزاننا ثانوياً ضمن تكون المقدادية فضلاً عن اسباب أخرى مثل اضافة الفلاحين الاسمية الكيميائية للمحاصيل الزراعية . كما نلاحظ من الخارطتين أن هناك انخفاضاً في قيم الـ (TDS,EC) في الجزء الجنوبي الشرقي لمنطقة الدراسة خصوصاً عند بداية المسار (A'-A) والسبب قد يعود إلى وجود طبقات تمثل مسامية كبيرة والتي تعمل على تنقية المياه الجوفية أثناء مرورها من خلالها مقللاً بذلك ملوحة المياه الجوفية في تلك الجزء من منطقة الدراسة . عند مقارنة تراكيز الأملاح الذائبة للمياه الجوفية لحوض منطقة الدراسة مع التصانيف المعدة لغرض تقييم التموج المائي مثل تصنيف [17] وتصنيف [16] وتصنيف [18] وتصنيف [19] تم تصنيف المياه الجوفية في معظم منطقة الدراسة على أنها من نوع (Slightly brackish water).

ملوحة المياه الجوفية

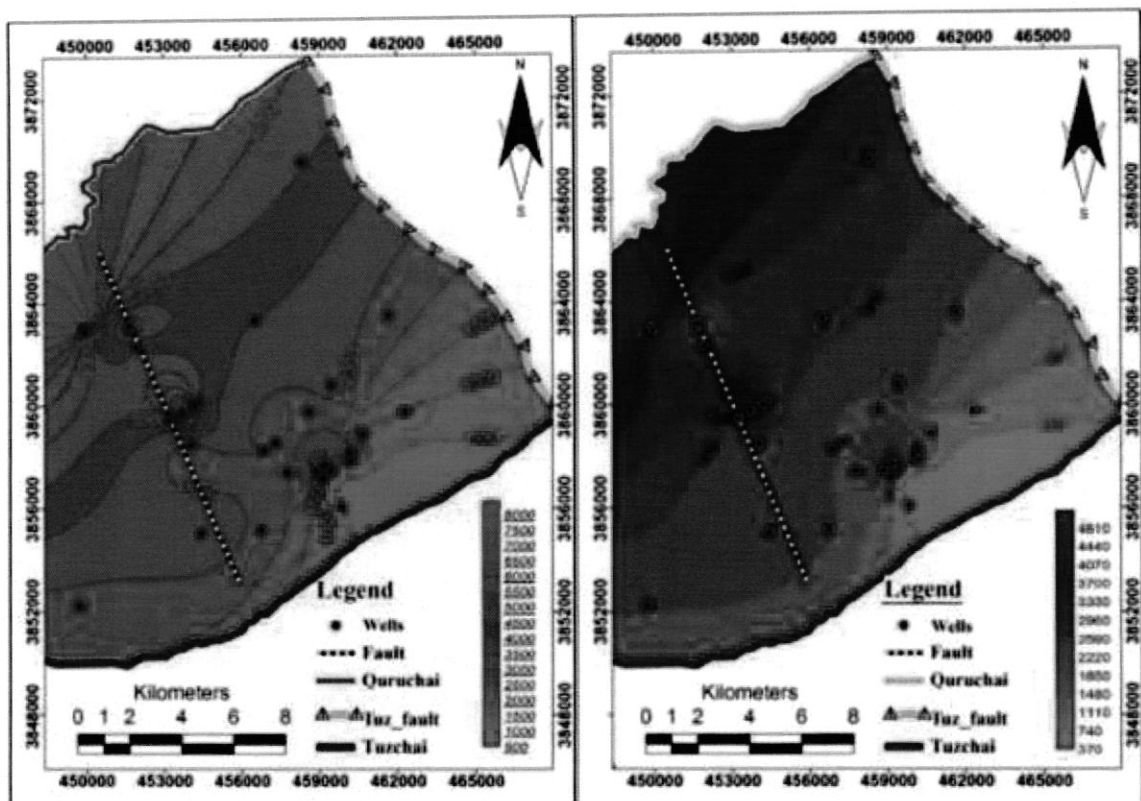
تم حساب المقاومة النوعية للمياه الجوفية (ρ_w) في منطقة الدراسة بالاعتماد على نتائج قياس التوصيلية الكهربائية في دائرة الموارد المائية في قضاء طوز لنماذج مائية مأخوذة من الآبار المحفورة فيها وقد استخدمت قيم التوصيلية الكهربائية (EC) بوحدات ($\mu\text{mhos/cm}$) في الحصول على المقاومة النوعية للمياه الجوفية بوحدات (m) من المعادلة الآتية :-

$$\rho_w = \frac{10000}{EC} \quad (1)$$

وبالاعتماد على العلاقة الأساسية بين التوصيلية الكهربائية للمياه وكمية الأملاح المذابة فيها والمذكورة في [16] تم استخراج قيم مجموع الأملاح الذائبة (TDS) في منطقة الدراسة، من المعادلة (2) ، كما تم رسم خارطتين للمياه الجوفية مثل الخارطة الأولى مجموع الأملاح الذائبة الكلي (TDS) والأخرى تمثل خارطة التوصيلية الكهربائية والموضحة في الشكلين (14) و (15) على التوالي .

$$TDS = \frac{6400}{\rho_w} \quad (2)$$

بصورة عامة نلاحظ بان قيم الـ (EC و TDS) تزداد من الجهة الجنوبية الشرقية إلى الجهة الشمالية الغربية من منطقة الدراسة مع وجود ارتفاع في بعض المناطق متمثلة بمنطقة الفالق إذ لوحظ أن قيم



شكل(15) خارطة توزيع التوصيلية الكهربائية (EC)

شكل(14) خارطة توزيع الأملاح الذائبة الكلية (TDS)

ونظراً لعدم توافر نماذج لبيانات من الآبار الموجودة في المنطقة فقد تم اختيار قيم مناسبة للثوابت (a ، m) حيث $(a = 1)$ و $(m = 1.5)$. وبصفة تقديرية مناسباً للصخور غير المتماسكة وبالاعتماد على دراسات سابقة ذات تربيبات مماثلة كما ورد في [21, 4]. وتم حساب قيم المسامية من المعلومات المذكورة أعلاه واستخدام القوانين التالية، حيث بلغ معدل العام للمسامية (31.56%) :

$$(\varphi)^m = \frac{a}{F} \quad \text{or} \quad \varphi = \sqrt[m]{a/F} \quad \dots \dots \dots \quad (6)$$

$$\varphi\% = \sqrt[1.5]{1/F} * 100 \quad \dots \dots \dots \quad (7)$$

تم رسم خارطة لتوزيع قيم المسامية في منطقة الدراسة ومتمنية بالشكل (16) حيث نلاحظ أن هناك انخفاض في قيم المسامية في الجزء الجنوبي والجنوبي الشرقي تم تزداد قيم المسامية باتجاه الشمالي الغربي وباتجاه منطقة الفالق، حيث نلاحظ في المناطق التي تزداد فيها قيم المقاومة النوعية للطبقة المشبعة انخفاض في قيم المسامية، بينما تزداد المسامية في الأجزاء التي تقل فيها المقاومة النوعية للطبقة المشبعة.

5- اتجاه حركة المياه الجوفية ومناسبيها

اعتماداً على النتائج النهائية لتقسيم نقاط الجس الكهربائي العمودي والمتمثلة بالمقاطع الجيوكهربائية المستندة من الدراسة تم تعريف ارتفاع منسوب الطبقة الحاملة للمياه الجوفية نسبة إلى مستوى سطح البحر في جزء من منطقة الدراسة والتي هي على طول المسارات الثلاثة (A'-A) (B'-B) (C'-C)، ولا يمكن إعفاء هذا المستوى

حساب مسامية الطبقة الجوفية المشبعة

تعرف المسامية على أنها النسبة بين الحجم الفراغات إلى حجم الكلي للصخرة أو الراسب، وفي يعبر عن المسامية (θ) بالمعادلة التالية حيث ان :

$$\theta = \frac{V_f}{V_t} \quad \text{حيث } V_f \text{ = الحجم الكلي للصخرة أو الراسب بوحدة } (cm^3) \quad . \\ V_t \text{ = الحجم الكلي للصخرة أو الراسب بوحدة } (cm^3) \quad .$$

$$\theta = \frac{V_f}{V_t} * 100 \quad \dots \dots \dots \quad (3)$$

تم حساب المسامية باستخدام قانون ارشي [20] ، حيث في البداية تم حساب قيمة المقاومة النوعية للمياه الجوفية في منطقة الدراسة (ρ_w) من مقلوب قيمة التوصيلية الكهربائية (EC) (EC) المقاسة من العينات المائية للآبار القريبة من نقاط الجس الكهربائي (VES) أو بأخذ المعدل بين الآبار عند وقوع أيّة نقطة بين أكثر من بئر واحد من خلال المعادلة الآتية:-

$$\text{Resistivity (ohm.m)} = 10^4 / \text{Electrical conductivity (microS/cm)} \quad \dots \dots \dots \quad (4)$$

كما استخدمت قيم المقاومة النوعية الكهربائية للطبقة المشبعة بالمياه الجوفية لحساب معامل التكونين (F) والذي تم حسابه من خلال المعادلة التالية حيث ان :-

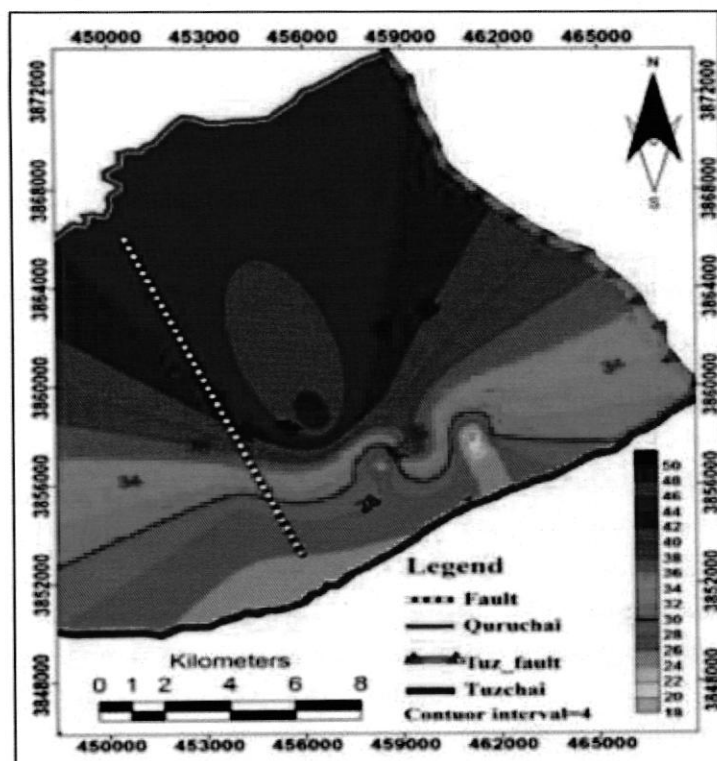
$$F = \rho_F / \rho_w \quad \dots \dots \dots \quad (5)$$

ρ_F : المقاومة النوعية للخزان الجوفي بوحدة $(\Omega.m)$

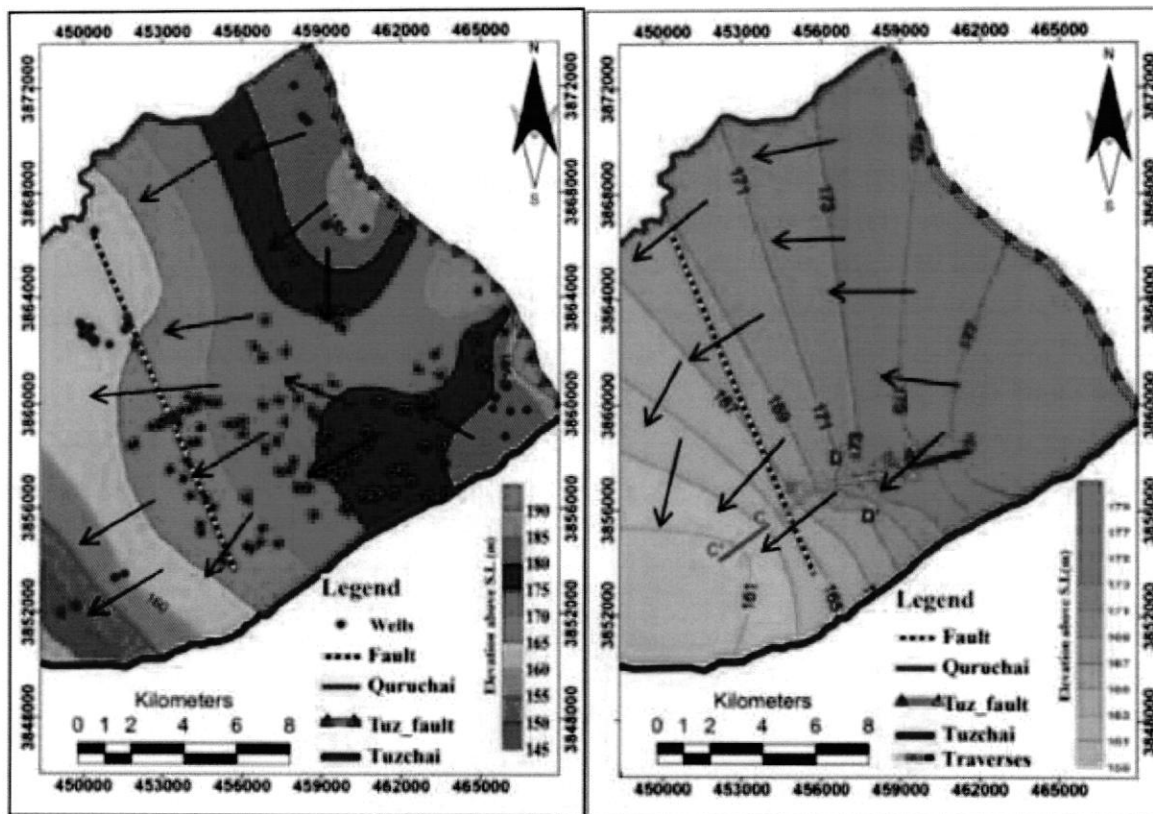
ρ_w : المقاومة النوعية للماء الجوفي بوحدة $(\Omega.m)$

من خلال ملاحظة هذه الخارطة تبين ان اتجاه العام للمياه الجوفية قد أخذ اتجاه الانحدار العام للمياه الجوفية بسبب ارتفاع المنطقة وانخفاضها بالاتجاه العام لحركة المياه الجوفية، إذ المعروف عن المياه الجوفية أنها تجري من المناطق المرتفعة باتجاه المناطق المنخفضة . عند مقارنة هذه الخارطة شكل (17) مع خارطة ارتفاع سطح الطبقة المشبعة بال المياه الجوفية، شكل (18) ، يتبيّن لنا بان اتجاه حركة المياه المشبعة بال المياه الجوفية، شكل (18) ، يتبيّن لنا بان اتجاه حركة المياه الجوفية في كلتا الخارطتين تكون متوافقة وبنفس الاتجاه، وهذا يعتبر دليلاً على نجاح طريقة المقاومة النوعية الكهربائية في تحديد مستوى المياه الجوفية وحركتها في منطقة الدراسة، من خلال التوافق الكبير في اتجاه حركة المياه الجوفية الذي أظهرته الخارطة المرسومة بالاعتماد على نتائج المسح الكهربائي والاتجاه الذي أظهرته الخارطة المرسومة من معلومات الآبار .

على جميع منطقة الدراسة كما موضح شكل (17) . حيث تراوح معدل ارتفاع منسوب المياه الجوفية المستحصلة من المقاطع الجيوكهربائية في منطقة الدراسة بين (160-178.5) متر فوق مستوى سطح البحر ويكون الارتفاع في الجزء الشرقي والشمال الشرقي اكبر مما هو في الجنوب الغربي وكما في خارطة تساوي ارتفاع الطبقة المشبعة بالمياه الجوفية عن مستوى سطح البحر شكل (17) . تم حدد اتجاه حركة المياه الجوفية من الخارطة المذكورة آنفا حيث يكون اتجاهها بشكل عام من الشمال الشرقي الى الجنوب الغربي أي باتجاه انخفاض القيم ويكون هذا الاتجاه بشكل عام متوافق مع الانحدار العام للمنطقة . وبالاعتماد على معلومات مناسب المياه الجوفية من الآبار الموجودة في المنطقة التي تم دراستها تم رسم خارطة ارتفاع منسوب المياه الجوفية في منطقة الدراسة شكل (18) حيث يتراوح ارتفاع منسوب المياه الجوفية نسبة الى مستوى سطح البحر بين (131 - 204 m) ،



شكل (16) خارطة توزيع قيم المسامية للطبقة المشبعة بالمياه الجوفية



شكل (18) شبكة جريان المياه الجوفية واتجاه حركتها

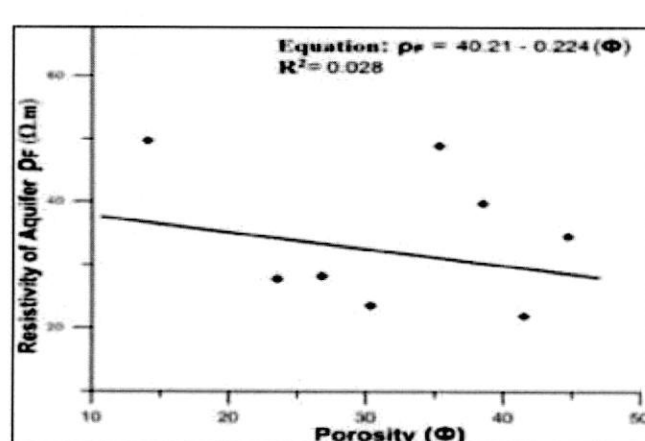
شكل (17) خارطة مناسبات المياه الجوفية وحركتها من معلومات المسح الكهربائي

تم ايجاد علاقة بين التوصيل الهيدروليكي (K) ومعامل التكونين (F) في منطقة الدراسة وذلك من حساب المقاومة النوعية الكهربائية للنطاق المشبع لأربعة نقاط كهربائية تقع بالقرب من الآبار التي اجريت لها الضخ الاختباري سابقاً ويستخدم قيمة المقاومة النوعية للمياه الجوفية عند كل بئر تم ايجاد معامل التكونين لهذه النقاط وقورن مع التوصيل الهيدروليكي للنطاق المشبع والمحسوب من الضخ الاختباري ، وقد نتجت العلاقة الموضحة في شكل (20) .
 $(R^2=0.182)$
Equation: $K=14.22 + 0.41(F)$(9)

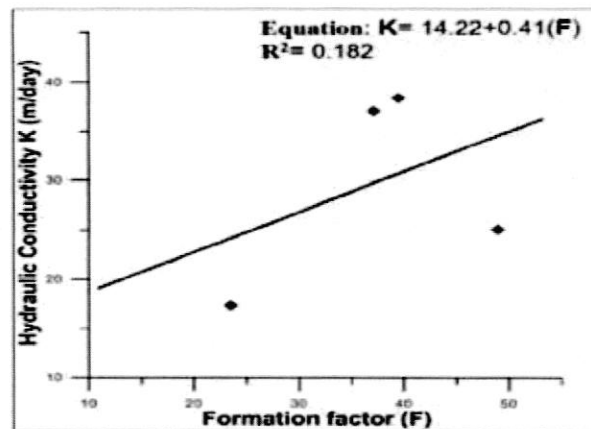
العلاقات الارتباطية والخواص الهيدروليکية
العلاقة بين المسامية للخزان والمقاومة النوعية للطبقة الجوفية
رسمت العلاقة بين قيم المسامية للخزان الجوفي وقيم المقاومة النوعية المحسوبة من التفسير الكمي ، شكل (19) وتم استبيان العلاقة الارتباطية بينهما ويعامل الثقة يساوي :
 $(R^2=0.028)$

$$\text{Equation: } \rho_F = 40.21 - 0.224(\phi\%)(8)$$

العلاقة بين معامل التكونين (F) والتوصيل الهيدروليكي (K)



شكل (19) العلاقة بين المسامية ومقاومة الخزان



شكل (20) يوضح علاقة معامل التكوين بالتوصيل الهيدروليكي

العلاقة المقاومة النوعية المستعرضة بالناقلة في المكمن الجوفي استخدمت قيم المقاومة النوعية المستعرضة والناقلة في رسم العلاقة والتي تبين بأنها علاقة طردية خطية كما موضح في الشكل (22)، وقد وجد بأنهما يرتبطان بالمعادلة التالية ويعامل النقا .

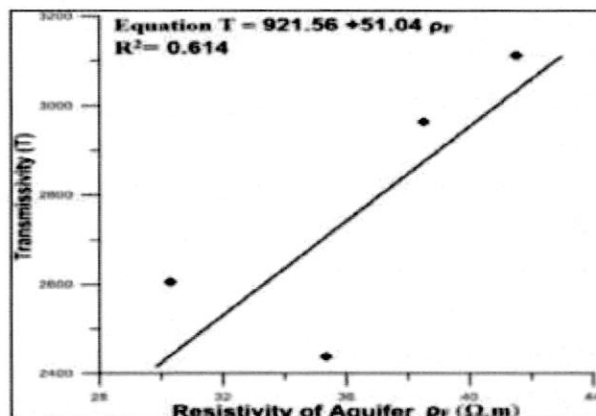
$$R^2 = 0.83$$

$$\text{Equation: } \rho_t = 2012.3 + 0.33(T) \dots\dots\dots(11)$$

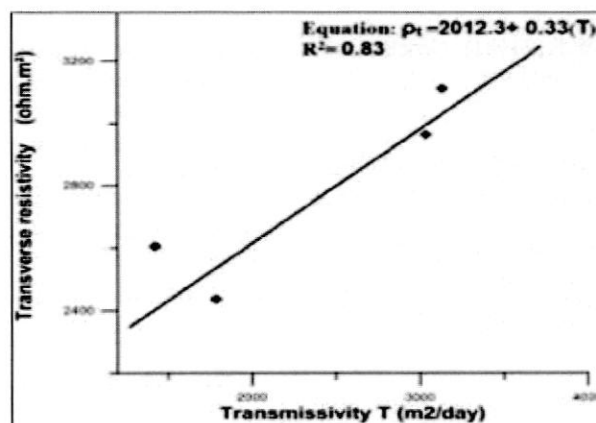
العلاقة المقاومة النوعية (ρ_F) بالناقلة (T) في المكمن الجوفي قورنت قيم الناقلة في المنطقة الدراسية والمحسوسة من تحليل نتائج الضغط الاختباري مع المقاومة النوعية المحسوسة في النقاط الكهربائية الواقعة قرب الآبار، وقد تم التوصل إلى العلاقة الموضحة في شكل (21) وهي بالصيغة الآتية :-

$$R^2 = 0.614$$

$$T = 921.56 + 51.04 (\rho_F) \dots\dots\dots(10) : \text{Equation}$$



شكل (21) العلاقة بين المقاومة النوعية بالناقلة



شكل (22) علاقـة المقاومة النوعية المستعرضة بالناقلة

مياه الخزان الرئيسي على طول مستوى الفالق مع مياه التكوينات الواقعه أسفله والتي تكون على الأرجح من تكوين الفتحة أو من خزان ثانوي ضمن تكوين انجانة.

7- تم الوصول الى العديد من العلاقات الرياضية بين المتغيرات الموجودة في هذه الدراسة وهي كالتالي:-

1- العلاقة بين مقاومة الخزان (ρ_F) والمسامية (%) .
Equation: $\rho_F = 40.21 - 0.224 (\varphi\%)$.

2- العلاقة بين التوصيلية الهيدروليكيه (K) ومعامل التكوين (F)
Equation -3: $K=14.22 + 0.41(F)$.

3- العلاقة بين الناقليه (T) ومقاومة الخزان (ρ_F)
Equation : $T = 921.56 + 51.04 (\rho_F)$.

4- العلاقة بين الناقليه (T) (المقاومة المستعرضة (pt))
Equation: $pt = 2012.3 + 0.33(T)$.

النوصيات

1- اجراء دراسات هيدرولوجية تهتم بإدارة المياه الجوفية لغرض استغلالها بشكل امثل لكون منطقة الدراسة من المناطق الزراعية حيث يعتمد بشكل رئيسي على المياه الجوفية في عمليات سقي المزروعات.

2- عدم استغلال المنطقة الواقعه قرب موضع الفالق المحلي في حفر آبار جديدة وذلك زيادة ملوحة المياه الجوفية فيها .

3- تنفيذ نقاط جس كهربائي إضافية في المناطق التي لم يصل اليها النقاط الجس المنجزة في الدراسة الحاليه، وربطها مع النتائج المستحصلة من هذه الدراسة لاكتمال الصورة الجيولوجية والهيدروجيولوجية في المنطقة .

4- حفر آبار الضخ وأبار مراقبة قريبة من بعضها البعض في منطقة الدراسة لغرض اجراء تجارب الضخ الاختاري بطريقة القياسية وربطها مع الدراسة الحاليه .

5- اجراء دراسة جيوفيزيائية في قرية حلية للتتأكد من وجود الفالق تحت سطحي وتحديد نوعه في منطقة الدراسة .

الاستنتاجات

يمكن تلخيص أهم الاستنتاجات التي تم التوصل اليها في هذه الدراسة وكما يلي :-

1- ان الدراسة الهيدرولوجية بینت بان الخزان الجوفي في تكوين المقاديه هو التكوين الرئيسي في منطقة الدراسة .

2- بینت نتائج التفسير النوعي للمنحنies الكهربائيه وجود QHA, HKH, (12) نوعاً من المنحنies الكهربائيه وهي KQH, QQQ, QHK, HAA, KHA, HQ, HKHK, QH, (HK, QHKG,) ووضحت هذه الانواع طبيعة التغير التدريجي في قيم المقاومة النوعية الظاهرية للترسبات مع العمق ، مما يعكس التغير في سمك تربات الاطيان والرمال والحصى تحت سطح الارض واختلاف الصفات الفيزيائية لها فضلاً عن وجود او عدم وجود المياه الجوفية .

3- اعطت معظم النقاط الكهربائيه اربع طبقات فضلا عن وجود خمس وست طبقات في قسم من النقاط .

4- أدى وجود طبقة الغرين في النطاق الثاني التي تحد الخزان الجوفي الرئيسي من الاعلى الى تغير ظروف الخزان من المحسور الى شبه المحسور .

5- تراوح منسوب مستوى المياه الجوفية في المنطقة ما بين (204m-131) فوق مستوى سطح البحر ، والذي يزداد في الجزء الشمالي الشرقي للمنطقة ، ثم تحد المنساب باتجاه وسط منطقة الدراسة مع نقصان في عمق المياه الجوفية وتختلفاً في منطقة الفالق حيث سجلت اقل القيم لمناسيب المياه الجوفية مقارنة ببقية المناسيب المقابلة في اجزاء مختلفة من منطقة الدراسة وبذلك نستنتج بان حركة المياه الجوفية في المنطقة الدراسية تكون من الشمال الشرقي إلى الجنوب الغربي . كما بلغ المعدل المسامي في منطقة الدراسة (34%) .

6- زيادة ملوحة المياه الجوفية والإيسالية الكهربائية وقيم المسامية بنفس الاتجاه، أي باتجاه الشمال والشمال الغربي . كما إن لالفالق المحلي اثر كبير على زيادة الملوحة في وسط المنطقة نتيجة اختلاط

المصادر

- 1- Kosinski, W.K. and Kelly, W.E., (1981): Geoelectric soundings for predicting Aquifer properties. Groundwater 19, 163–171.
- 2- Zohdy, A. A. R., (1965): The auxillary point method of electrical sounding interpretation and its relationship to Dar Zarrouk parameters. Geophysics . Vol. 30. No. 4. PP 644-660.
- 3- Zohdy, A.A.R. (1974): A computer program for the automatic interpretation of Schlumberger sounding curves over horizontally stratified media. U.S. Dept. of Commerce, National Technical information Service, Springfield, U.S.A., 1-31.
- 4- الريعي، حسين محمد جاسم(2009): تطبيق طريقة المقاومة النوعية الكهربائية للدراسات الهيدروجيولوجية في منطقة طوزخورماتو، رسالة ماجستير، قسم علوم الارض ، كلية العلوم / جامعة بغداد، 120 ص .
- 5- Khdair, H. A., Mohamed, N. A. and Abdullah, N. Y., 2000. "Hydrogeologic Investigation of Tuz Kurmatu", Dijla Company of the studies and design of irrigation projects, Iraq.55p.(In Arabic).
- 6-Al-Hamdani, J. A. J. M. (2009): Hydrochemical Effect of Groundwater Due to Irrigation and Drainage Projects in Tawuq Sub-Basin, University of Baghdad College of Science, 115p.
- 7- أحمد، حميد سعيد والجوري، حاتم خضرير صالح (2005): دراسة هيدروجيولوجية وهيدروكيميائية لمنطقة لوحة سامراء (NI-38-6) مقاييس 1:250000، الشركة العامة للمسح الجيولوجي والتعدين، (报 告 内 容)， 91 ص.
- 8- Araim, H.I, and Ahmed, H.S (1980): Ground – water regional study in the Adhaim river basin with emphasis on the plain area .Geol. Surv. Min. Invest D.G. Baghdad, Iraq, Report. No. 1049.

- 9- Buday, T. and Jassim, S. Z., (1987). The Regional Geology of Iraq . Tectonism Magmatism and Metamorphism, Publ. of GEOSURV, Baghdad. Vol. 2, p. 352.
- 10- Bhattacharya, P. K. and Patra, H. P., (1968): Direct current geoelectric sounding, Elsevier Publishing Company PP 131.
- 11- Griffiths, D. H., and King, R. f., (1981): Applied Geophysics for Geologist and Engineers, Pergamon Press, Second Edition, 223P.
- 12- Van Overmeeren, R. A., (1989): Aquifer Boundaries Explored by Geophysical Measurements in the Coastal Plain of Yamen, A Case of Equivalence, Geophysics, Vol. 54, No. 1, PP 38- 48.
- 13- Ghoush, D.P. (1971): The application of linear filter theory to the direct interpretation of geoelectrical resistivity sounding measurements. Geophys Prosp, v. 19: 192-217.
- 14- Koefoed, O. (1979): Geosounding Principles, 1. Resistivity Sounding Measurements (New York, NY, Elsevier Scientific Pub. Co.), pp. 276.
- 15- Flathe, H., (1955): Possibilities and limitation in applying geoelectrical methods to hydrogeological problems in the coastal area of the north west Germany. Geophys. Pros., Vol. 14, PP195-206.
- 16- Todd, D.K, (1980): Ground water hydrology. John Wiley Inc ., New-York, 336 p.
- 17- Altoiviski, M. E., (1962): Handbook of hydrogeology , Gosgeolitzdat, Moscow, USSR, (in Russian), 614P.
- 18- Klimentove, p. p., (1983): General Hydrology, Mir. Pub., Moscow (English translation), 239 P.
- 19- Freeze, R.A. and Cherry, J.A. (1979): Groundwater, Prentice-Hall Inc., Englewood Cliffs, New Jersey, 604 pp.
- 20- Archie, G. E., (1942): The electrical resistivity log as an aid in determining some reservoir characteristic. Trans. Am. Inst. Min. Eng., Vol. 146, PP 54-62 .
- 21- Kosinski, W.S., (1978): Geoelectrical studies for predicting aquifer properties. Thesis submitted in partial fulfillment of the requirements for the degree of master of science in civil and environmental engineering. University of Rhode Island. Rhode Island. Kingston. USA .

Study of the aquifer nature in study area basin between Tuz Khurmato and Ber ahmmad village using Vertical Electrical Sounding (VES)

Hasan shhabaz Zain – Alabdin¹, Sabbar Abdullah Salih¹, Salman Z. Khorshid²

¹Department of Applied Geology , Colleague of Science , University of Tikrit , Tikrit , Iraq

²Department of Geology , Colleague of Science , University of Bagdad , Bagdad , Iraq

Abstract

The studied area comprises (311km²) within Salahaddin Governorate between Tuz Khurmato East and Tikrit West between (448000 – 468000) East and (3870000 – 3845000) North, The current study includes applying the vertical electric sounding (VES) by using Schlumberger configuration, the measurements of apparent resistivity measured in (25)VES points in located area, along four electric profiles, The apparent resistivity curves of field data were drawn and interpreted qualitatively. The nature of the curves are grouped into twelve categories, Then the curves were interpreted quantitatively by Auxiliary point method using Ebret method to find out the values of quantitative resistivity and thickness of the electrical zones. After that, the sounding curves were interpreted automatically by the computer program using (IPI2win) applying the Inverse interpretation method. The estimated values of Transmissivity (T) in aquifer by using pumping tset results in (4) wells within study area which is near of VES point while hydraulic conductivity (K) values of aquifer has been found from Transmissivity (T) values of aquifer, the movement of direct ground water was limited in study area which was from(north - east) to (south – west). Many empirical relations have been put between the geoelectrical parameters, and the Hydraulic parameters, and using estimated Transmissivity (T) and hydraulic conductivity (K) can be estimated from resistivity(ρ) or transverse resistivity (ρ_t) relations or any extracted relations in this study can be applied .

Keywords: VES , Apparent resistivity , Groundwater , Hydrogeologic characters , Geoelectrical sections .